

В. К. Опанасович, М. С. Драган

**ПЕРІОДИЧНА СИСТЕМА ПАРАЛЕЛЬНИХ  
ТОНКИХ ПРУЖИН ВКЛЮЧЕНЬ У ПЛАСТИНІ**

Розглянемо періодичну систему тонких прямолінійних ізотропних пружин включень довільної орієнтації в ізотропній пластині, коли центри включень знаходяться на дійсній осі  $Ox$  (рис. I). Нехай  $2\ell$  - довжина кожного включения;  $2h$  - його ширина;  $\alpha$  - кут, який утворює довільне включение з віссю  $Ox$ ;  $a$  - відстань між центрами сусідніх включень. Примукаємо, що на середину площину пластини діє зовнішнє силове навантаження, а на берегах включень мас місце ідеальний механічний контакт.

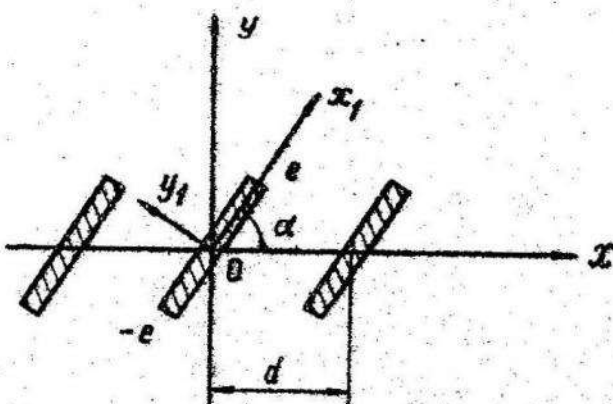


Рис. I.

Центр кожного включения приймемо за початок локальної системи координат з дійсною віссю, направленою вздовж включень. Величини, які характеризують тонкі включения, позначимо нульовим індексом, а сегмент дійсної осі  $[-\ell, \ell]$  - через  $\mathcal{L}$ .

Умови механічного контакту включень з матрицею матимуть виг-

яд

$$(\sigma_y - i\tau_{xy})^{\pm} = (\sigma_y - i\tau_{xy}^{\pm})^{\pm}; (u + iv)^{\pm} - i\varepsilon_0 = (u + iv)^{\pm} \quad \text{на } L, /I/$$

де знаку плюс відповідає граничне значення величини при прямуванні до локальної дійсної осі зліва, а знаку мінус - справа;  $\sigma_y$ ,  $\tau_{xy}$  - компоненти тензора напружень у локальній системі координат;  $u$  і  $v$  - компоненти вектора переміщення;  $\varepsilon_0$  - поворот включення як жорсткого цілого.

Враховуючи відомі результати у випадку одного включення [3] і беручи до уваги метод суперпозиції, комплексні потенціали Колосова-Мусхелішвілі  $\Phi(z)$  і  $\Psi(z)$  для нашої задачі представимо таким чином:

$$\Phi(z) = \pi h \gamma d^{-1} e^{iz} \int_{-\ell}^{\ell} (K'(t) + \beta M'(t)) \operatorname{ctg}[\pi d^{-1}(te - z)] dt + \Phi_0(z),$$

$$\begin{aligned} \Psi(z) = & \pi h \gamma d^{-1} \left\{ e^{iz} \int_{-\ell}^{\ell} (\beta \overline{M(t)} - \chi \overline{K(t)}) \operatorname{ctg}[\pi d^{-1}(te - z)] dt - \right. \\ & - \int_{-\ell}^{\ell} [\pi d^{-1}(ze^{iz} + t(1 - e^{2iz})) \operatorname{cosec}^2[\pi d^{-1}(te - z)] + e^{iz} \operatorname{tg}[\pi d^{-1}(te - z)]] \times \\ & \times (K'(t) + \beta M'(t)) dt \} + \Psi_0(z), \end{aligned} \quad /21$$

$$\text{де } \beta = \mu/\mu_0, \chi = (3 - \nu)/(1 + \nu), \gamma = 1/(\pi(1 + \chi));$$

$\mu$ ,  $\nu$  - коефіцієнти Ламе і Пуассона;  $\Phi_0(z)$  і  $\Psi_0(z)$  - комплексні потенціали, що характеризують напружене-деформований стан циліндрическої оболонки без включень при тому ж навантаженні;  $K(t)$ ,  $M(t)$  - невідомі функції, які визначаються зі системи інтегродиференціальних рівнянь

$$\begin{aligned} & \gamma_0 [(1 - \chi) K(x) + 2M(x) + 2\overline{K(x)} + 2\overline{M(x)}] - G \int_{-\ell}^{\ell} [(K'(t) + \beta M'(t)) \times \\ & \times R(t-x) + (-\chi K'(t) + \beta M'(t)) \overline{R(t-x)} + (\overline{K'(t)} + \beta \overline{M'(t)}) \times \end{aligned}$$

$$\begin{aligned}
& \times L(t-x)]dt = a_1 \Phi_{01}(x) + a_2 \overline{\Phi_{01}(x)} + a_3 S_{01}(x), \\
& q_0 [2x_0 K(x) + (x_0 - 1) M(x) - 2K(x) - 2M(x)] + \\
& + C_1 \int_{-l}^l [-x(K'(t) + \beta M'(t)) R(t-x) + (-xK'(t) + \beta M'(t)) \overline{R(t-x)} + \\
& + (K'(t) + \beta M'(t)) L(t-x)] dt = b_1 \Phi_{01}(x) + b_2 \overline{\Phi_{01}(x)} + \\
& + b_3 S_{01}(x) + 2i\mu \epsilon_0, \quad x \in L,
\end{aligned} \tag{13/}$$

причому

$$\begin{aligned}
R(t-x) &= \pi e^{i\omega t} d^{-1} \operatorname{ctg} [\pi e^{i\omega t} d^{-1} (t-x)]; L(t-x) = \pi d^{-1} (e^{-i\omega t} - e^{-3i\omega t}) \times \\
&\times [\operatorname{ctg} [\pi e^{-i\omega t} d^{-1} (t-x)] - \pi e^{-i\omega t} d^{-1} (t-x) \operatorname{cosec}^2 [\pi e^{-i\omega t} d^{-1} (t-x)]], \\
y_0 &= 1/(1+x_0); q_0 = \beta y_0; C_1 = h y_0; a_1 = 1 - \omega y_0 (1-x_0 + 2x), \\
a_2 &= 2\omega y_0 (x_0 - x); a_3 = 1 - \omega; b_1 = x - \beta \omega (x+2 - 2y_0 (x+1)), \\
b_2 &= 2\beta \omega / ((x+1)y_0 - 1); b_3 = \beta \omega - 1; \omega = \min(1, 1/\beta).
\end{aligned}$$

Розв'язок системи /3/ повинен задовільняти умови рівноваги тонкого включення й умови однозначності зміщень при обході його контура, які набирають вигляду

$$\int_{-l}^l K'(t) dt = 0, \quad \int_{-l}^l t K'(t) dt = 0, \quad \int_{-l}^l M'(t) dt = 0.$$

Зробивши у системі /3/ заміну  $t = lt$ ,  $x = lx$ , і зобразивши невідомі функції  $K(x)$  і  $M(x)$  як

$$K'(lx) = U(x)/\sqrt{1-x^2}; \quad M'(lx) = V(x)/\sqrt{1-x^2},$$

на основі методу механічних квадратур [5] можна записати таку систему лінійних алгебраїчних рівнянь:

$$\sum_{m=1}^M \left\{ [(1-x_0)U(t_m) + 2V(t_m) + 2\overline{U(t_m)} + 2\overline{V(t_m)}] \right\} y_0 \eta(x-t_m) - C_M \left[ U(t_m) + \right.$$

$$\begin{aligned}
& + \beta v(t_m)] R(\ell(t_m - x_i)) + [-\alpha u(t_m) + \beta v(t_m)] \overline{R(\ell(t_m - x_i))} + [u(t_m) + \\
& + \beta \overline{v(t_m)}] L(\ell(t_m - x_i)) \Big\} = \frac{M}{\pi} [a_1 \Phi_{01}(\ell x_i) + a_2 \overline{\Phi_{01}(\ell x_i)} + a_3 S_{01}(\ell x_i)], \\
& \sum_{m=1}^M \left\{ [2x_0 u(t_m) + (\lambda_0 - 1)v(t_m) - 2\overline{u(t_m)} - 2\overline{v(t_m)}] q_0 \eta(x_i - t_m) - \right. \\
& - C_{11} \left\{ \alpha(u(t_m) + \beta v(t_m)) R(\ell(t_m - x_i)) + (\alpha u(t_m) - \beta v(t_m)) \overline{R(\ell(t_m - x_i))} \right. \\
& \left. - (\overline{u(t_m)} + \beta \overline{v(t_m)}) L(\ell(t_m - x_i)) \right\} = \frac{M}{\pi} [b_1 \Phi_{01}(\ell x_i) + b_2 \overline{\Phi_{01}(\ell x_i)} + \\
& + b_3 S_{01}(\ell x_i) + 2i \epsilon_0 \mu],
\end{aligned}$$

$$t_m = \cos(\pi(2m-1)/(2M)), x_i = \cos(\pi i/M), (m=1, M),$$

$$(i=1, M-1),$$

де  $C_{11} = C_1/\ell$ ;  $\eta(x)$  – функція Хевісаїда.

Коефіцієнти інтенсивності напружень /КІН/, які характеризують сингулярну частину напружень в околі вершини включення, визначаємо за формулами

$$K_1 - iK_2 = \mp (2\pi \gamma h \beta / \sqrt{\ell}) v(\pm 1),$$

$$K_3 - iK_4 = \mp (2\pi \gamma h / \sqrt{\ell}) u(\pm 1),$$

де

$$\left\| \begin{array}{l} u(\pm 1) \\ v(\pm 1) \end{array} \right\| = \frac{1}{M} \sum_{m=1}^M \left\| \begin{array}{l} u(t_m) \\ v(t_m) \end{array} \right\| (-1)^m \operatorname{ctg}^{\pm 1} \left( \frac{2m-1}{4M} \pi \right);$$

$$z = m+1 + (M+1)(i \mp 1)/2,$$

знак плюс належить до правої, а знак мінус до лівої вершини висловлення.

Відзначимо, що коли в /3/ або /4/ зробити відповідний граничний перехід, то одержимо розв'язок періодичної задачі для тріщин [5] і коротких висловлень [1]. При  $\alpha = 0$  і  $\alpha = \pi/2$  з використанням інших моделей висловлення задача досліджена у працях [2, 4].

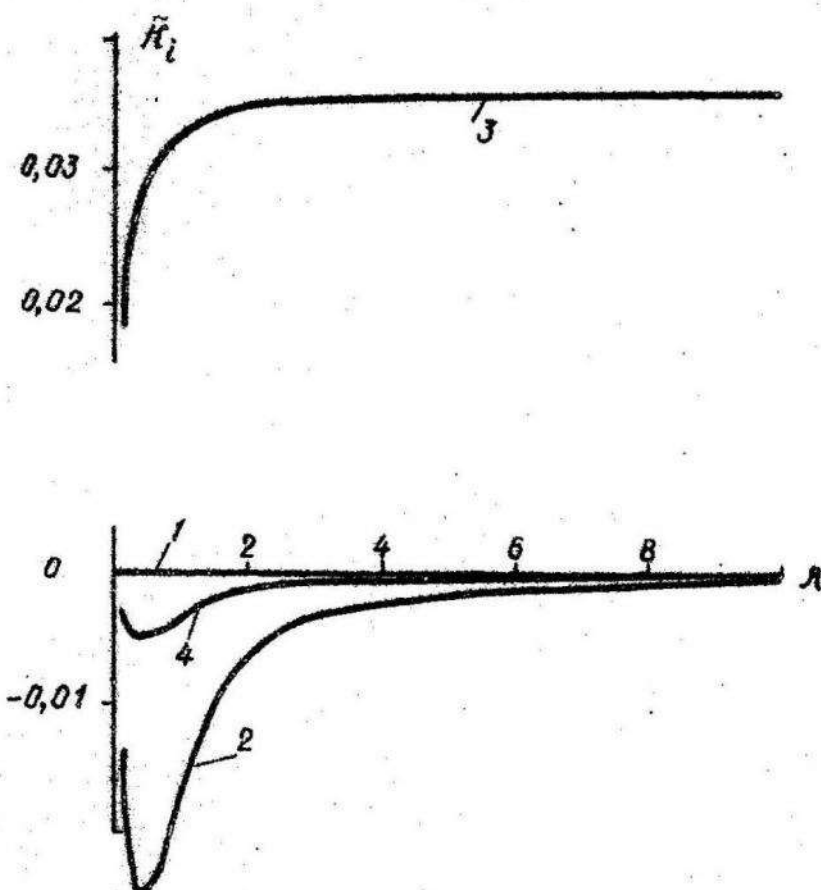


Рис. 2.

Проведено числовий аналіз задачі у випадку, коли пластина перебуває під дією рівномірно розподіленого на безмежності напруження інтенсивності  $P$ , напрям якого паралельний до осі  $OY$ . На рис. 2, 3 відповідною кривою показана графічна залежність КІН

$\tilde{R}_i = R_i / (\rho \sqrt{\ell})$ , ( $i=1,4$ ) від відносної відстані  $\lambda = d/\ell$  між центрами включень. При цьому рис. 2 побудований при відносній жорсткості матриці і включення  $\beta = 0,1$ , а рис. 3 - при  $\beta = 10$ .

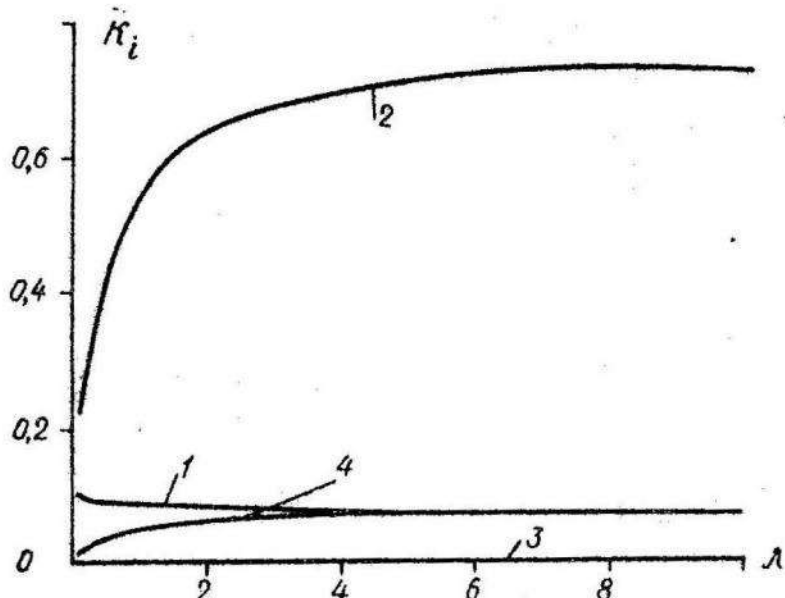


Рис. 3.

Обчислення проводили при таких значеннях параметрів  $h/\ell = 0,01$ ,  $d = \pi/4$ ,  $\chi = \bar{\chi} = 2$ . Числовий аналіз показав, що для досягнення точності 2% потрібно у системі /4/ взяти 20 вузлів.

Як видно з рис. 2, КІН менший, ніж у випадку одного включения, тобто при відсутності взаємодії між включениями. Трохи іншу картину спостерігаємо на рис. 3: антисиметричні КІН /  $\tilde{R}_2, \tilde{R}_4$  / мають ці ж закономірності, а симетричний КІН /  $\tilde{R}_1$  / - протилежну.

Список літератури: 1. Бережницкий Л.Т., Стакука Н.Г. Плоская периодическая задача теории жестких включений. - Физ.-хим. механика материалов, 1982, № 1, с.61-69. 2. Грицикский Д.В., Сулим Г.Т. Периодическая задача для кусоч-

но-однородной плоскости с тонкостенными упругими включениями. - Прикладная механика, 1975, т. II, № 1, с. 74-81. З. Драган М.С., Опанасович В.К. Напряженное состояние полосы /балки/ с прямолинейным тонкостенным включением. - Прикл. мат. и мех., 1979, т. 43, № 2, с. 342-348. 4. Мартиняк Р.М., Сулим Г.Т. Периодическая задача для системы линейных компланарных включений в изотропной плоскости. - Мат. методы и физ.-мех. поля, 1982, вып. 15, с. II3-II7. 5. Наинськ В.В., Саврук М.Н., Дацьгин А.П. Распределение напряжений около трещин в пластинах и оболочках. - К.: Наукова думка, 1976. - 444с.

Стаття надійшла до редколегії 08.02.83

УДК 541.124

Ю.А.Паздерський, В.Є.Юрнєць, В.П.Баран, О.О.Світшенко

ДО МЕТОДУ ІНТЕГРУВАННЯ СИСТЕМ

ДИФЕРЕНЦІАЛЬНИХ РІВНЯНЬ ХІМІЧНОЇ КІНЕТИКИ

Розглянемо систему рівнянь хімічної кінетики, яка описує механізм термічного розкладання ацетилену. Така система рівнянь подібна до систем з праць [1, 2] і має вигляд

$$\frac{dy_e}{dt} = \sum_{m=1}^{M_e} K_m y_e y_e \quad e, i, j = 1, N. \quad (I)$$

Причому

$$y(0) = (1, 0, \dots, 0)$$

$$K = (0,024, 0,59, 0,358 \cdot 10^6, 0,59, 0,966 \times 10^8, 0,59, \\ 0,966 \times 10^8, 0,59, 0,966 \times 10^8, 0,59, 0,966 \times 10^8, 0,59, \\ 0,966 \times 10^8, 0,59, 0,966 \times 10^8, 0,59, 0,966 \times 10^8, 0,59, \\ 0,666 \times 10^7, \\ 0,666 \times 10^7, 0,666 \times 10^7, 0,666 \times 10^7, 0,459 \times 10^5, 0,715 \times 10^6, 0,715 \times 10^6, \\ 0,536 \times 10^6, 0,402 \times 10^6, 0,302 \times 10^6, 0,226 \times 10^6, 0,17 \times 10^6, 0,127 \times 10^6,$$